

Оригинальная статья

<https://doi.org/10.26897/1997-6011-2025-5-117-125>

УДК 556.5: 621.224: 620.9: 504.054:502.171



КОМПЛЕКСНАЯ ОЦЕНКА ПОТЕНЦИАЛА СВОБОДНОПОТОЧНЫХ ГИДРОТУРБИН В КИТАЕ НА ОСНОВЕ ГИДРОЛОГИЧЕСКИХ И ЭКОЛОГИЧЕСКИХ ПОКАЗАТЕЛЕЙ

Фан Ли¹, В.А. Фартуков², А.А. Кадысева³

^{1,2,3} ФГБОУ ВО Российской государственный аграрный университет – МСХА имени К.А. Тимирязева; 127434, г. Москва, Тимирязевская ул., 49, Россия

¹985953684@qq.com

²vasfar@mail.ru; ORCID: 0000-0002-8405-8757

³kadyseva@mail.ru; ORCID: 0000-0001-8703-5684

Аннотация. В условиях глобального перехода к возобновляемой энергетике свободнопоточные гидротурбины (СПГ) представляют особый интерес как экологически безопасная альтернатива традиционным плотинным ГЭС. Их применение особенно актуально для Китая, обладающего значительным, но географически неравномерно распределенным гидропотенциалом. Цель исследований – оценка потенциала применения СПГ в различных регионах Китая на основе комплексного учета гидрологических и экологических факторов. На основе данных 58 гидропостов за период 2010-2023 гг. рассчитаны индекс гидрологической стабильности (Ig) и коэффициент экологического воздействия (Ke). Разработан интегральный показатель пригодности (P), позволяющий количественно оценить компромисс между энергоэффективностью и экологическими рисками. Установлено, что наиболее благоприятными регионами для внедрения СПГ являются Чжэцзян (P = 0.67) и Гуандун (P = 0.51), тогда как в Юньнани и Сычуани применение технологий требует дополнительных ограничений и адаптационных мер. Даны рекомендации по выбору типов турбин и мощности с учетом региональной специфики.

Исследование выполнено в рамках проекта по созданию и развитию инженерного центра РГАУ-МСХА имени К.А. Тимирязева (соглашение № 075-15-2025-543 от 16 июня 2025 года)

Ключевые слова: свободнопоточные гидротурбины, индекс гидрологической стабильности, коэффициент экологического воздействия, интегральная оценка пригодности, Китай, возобновляемые источники энергии

Формат цитирования: Фан Ли, Фартуков В.А., Кадысева А.А. Оценка потенциала применения свободнопоточных гидротурбин в Китае: гидрологический и экологический анализ // Природоустройство. 2025. № 5. С. 117-125. <https://doi.org/10.26897/1997-6011-2025-5-117-125>

Original article

COMPREHENSIVE ASSESSMENT OF THE POTENTIAL OF FREE-FLOW HYDRO TURBINES IN CHINA BASED ON HYDROLOGICAL AND ENVIRONMENTAL INDICATORS

F. Li¹, V.A. Fartukov², A.A. Kadyseva³

^{1,2,3} Russian State Agrarian University – Moscow Timiryazev Agricultural Academy, Timiryazevskaya, 49, Moscow, 127434, Russia

^{1,2}vasfar@mail.ru; ORCID: 0000-0002-8405-8757

³kadyseva@mail.ru; ORCID: 0000-0001-8703-5684

Abstract. In the context of the global transition to renewable energy, free-flow hydro turbines (FFHTs) are of particular interest as an environmentally friendly alternative to traditional dam-based hydroelectric power plants. Their application is particularly relevant for China, which has significant, but geographically unevenly distributed hydroelectric potential. The objective of the study is to assess the potential for FFHT application in various regions of China based on a comprehensive consideration of hydrological and environmental factors. Using data from 58 hydro posts for the period 2010-2023, the hydrological stability index (Ig) and the environmental impact coefficient (Ke) were calculated. An integral suitability index (P) was developed, allowing for a quantitative assessment of the trade-off between energy efficiency

and environmental risks. It was found that the most favorable regions for FFHT implementation are Zhejiang ($P=0.67$) and Guangdong ($P=0.51$), while in Yunnan and Sichuan the application of technologies requires additional restrictions and adaptation measures. Recommendations are provided for the selection of turbine types and capacity, taking into account regional specifics.

The study was carried out as part of the project to create and develop the engineering center of the Russian State Agricultural Academy named after K.A. Timiryazev (Agreement No. 075-15-2025-543 dated June 16, 2025)

Keywords: free-flow hydro turbines, hydrological stability index, environmental impact coefficient, integrated suitability assessment, China, renewable energy

Citation format: Fan Li, Fartukov V.A., Kadyseva A.A. Comprehensive assessment of the potential of free-flow hydro turbines in China based on hydrological and environmental indicators // Prirodoobustroystvo. 2025. № 5. P. 117-125. <https://doi.org/10.26897/1997-6011-2025-5-117-125>

Введение. Свободнопоточные (русловые) гидротурбины – это компактные энергетические установки, использующие кинетическую энергию речного потока без строительства плотин. К их ключевым преимуществам относятся минимальное воздействие на экосистемы, простота монтажа, работа при переменных расходах воды и низкие эксплуатационные затраты [1-3]. Китай обладает крупнейшим в мире потенциалом малой гидроэнергетики (> 100 ГВт), что делает применение СПГ перспективной альтернативой, особенно для удаленных районов с развитой речной сетью [4-6]. Преимущества свободнопоточных турбин заключаются в экологичности (не требуют строительства плотин), минимуме воздействия на экосистему; в простоте монтажа (могут быть установлены в удаленных районах); в низких эксплуатационных затратах (отсутствие сложных гидротехнических сооружений) [1-6].

Китай обладает крупнейшим в мире потенциалом малой гидроэнергетики (> 100 ГВт). Применение свободнопоточных турбин – альтернатива плотинным гидроэлектростанциям, не требующая изменения русла реки. Их применение является особенно важным для удаленных районов с развитой речной сетью – например, в провинциях Юньнань, Сычуань, Тибет [6-9].

Свободнопоточные гидротурбины представляют собой перспективное решение для малой гидроэнергетики, особенно в регионах с развитой речной сетью. В Китае, где значительная часть территории покрыта реками различного типа, их применение может способствовать децентрализованному энергоснабжению. Однако эффективность таких систем сильно зависит от местных гидрологических условий и экологических ограничений.

Актуальность исследований обусловлена комплексом энергетических, экологических и гидрологических вызовов. Рост спроса на энергию в удаленных районах Китая, где 12%

территорий не имеют доступа к централизованному энергоснабжению, требует развития децентрализованных решений. Исследования соответствуют национальной программе КНР «Зеленая гидроэнергетика 2030», направленной на развитие малых ГЭС без нарушения экосистем. Одновременно существует острая необходимость минимизации воздействия на водные биоценозы, в том числе относительно гибели рыбы и нарушений миграционных путей. Гидрологическая специфика региона, характеризующаяся сезонными колебаниями стока, высокой засаленностью рек и учащением экстремальных паводков и засух (по данным ИРСС, 2023), предъявляет повышенные требования к устойчивости энергостановок. Гипотеза исследований заключается в том, что интегральная оценка, объединяющая индекс гидрологической стабильности (I_g) и коэффициент экологического воздействия (K_e), позволяет выявить регионы, где возможно эффективное применение свободнопоточных турбин с выработкой энергии более 20 МВт·ч/год при допустимом уровне экологического воздействия ($K_e < 2.5$).

Цель исследований: оценить потенциал применения свободнопоточных гидротурбин в Китае с учетом гидрологических и экологических факторов.

Для достижения цели решались следующие задачи: 1) рассчитать гидрологическую стабильность рек в ключевых регионах; 2) оценить экологические риски; 3) определить интегральную пригодность территории на основе разработанной модели; 4) дать рекомендации по выбору технологий и мощности.

Материалы и методы исследований. В основу работы легли данные 58 гидропостов за период 2010-2023 гг. по 6 ключевым регионам Китая (табл. 1). Для обработки данных и прогнозирования сезонных колебаний стока применялись методы машинного обучения (Random Forest).

Гидрологические данные. Данные по среднему (Q_{cp}) и минимальному (Q_{min}) расходу воды, стандартному отклонению стока (σQ) были взяты из доступных источников по гидропостам регионов Китая. Использованы данные гидропостов за 2010-2023 гг., обработанные с применением машинного обучения (Random Forest) для прогнозирования сезонных колебаний стока. Такая обработка данных позволила повысить точность расчета Ig на 15% по сравнению с традиционными методами. Результаты представлены в таблице 1.

Расчетные зависимости

1. Индекс гидрологической стабильности:

$$Ir = \frac{Q_{cp} - Q_{min}}{\sigma Q},$$

где Q_{cp} – средний расход воды, $\text{м}^3/\text{с}$, за 10 лет (данные гидропостов); Q_{min} – минимальный расход за тот же период (учитывает сезонные колебания); σQ – стандартное отклонение стока, отражающее изменчивость:

$$\sigma Q = \sqrt{\frac{1}{N} \sum_{i=1}^N (Q_i - Q_{cp})^2}.$$

Таблица 1. Крупнейшие гидропосты Китая по регионам

Table 1. Largest hydro posts in China by regions

Регион Region	Название гидропоста Name of the hydro post	Река River	Координаты Coordinates	Основные параметры Main parameters	Ссылка на данные Reference to data
Чжэцзян Zhejiang	Гидропост Цяньтан Qiantang hydro post (Qiantang)	Цяньтан Qiantang	30.25°N, 120.17°E	Уровень воды, скорость течения, мутность Water level, current speed, turbidity	Министерство водных ресурсов КНР Ministry of Water Resources of the People's Republic of China
Гуандун Guangdong	Гидропост Чжуцзян Zhujiang hydro post	Чжуцзян (Жемчужная) Zhujiang	23.10°N, 113.25°E	Расход воды, температура, содержание кислорода Water flow, temperature, oxygen content	Гидрологическая служба Гуандуна Guangdong Hydrological service
Сычуань Sichuan	Гидропост Янцзы Yangtze hydro post	Янцзы Yangtze	30.77°N, 104.06°E	Уровень воды, скорость, транспорт наносов Water level, velocity, sediment transport	Сычуаньский гидрологический бюро Sichuan Hydrological Bureau
Юньнань Yunnan	Гидропост Ланьцзян Lancang Hydro post	Ланьцзянцзян Lancangjiang	21.98°N, 100.81°E	Расход, мутность, селевая активность Flow rate, turbidity, mudflow activity	Юньнаньский водный ресурсный портал Yunnan Water Resources Portal
Хубэй Hubei	Гидропост Трёх ущелий Three Gorges Hydro post	Янцзы Yangtze	30.82°N, 111.00°E	Уровень воды, выработка ГЭС Water level, hydroelectric power station output	China Three Gorges Corporation
Фуцзянь Fujian	Гидропост Миньцзян Minjiang hydro post	Миньцзян Minjiang	26.08°N, 119.30°E	Качество воды, скорость течения Water quality, flow rate	Фуцзяньский гидрометцентр Fujian Hydrometeorological center

– 2 – крупномасштабное заиление, изменение глубины русла.

3. Деформация русла (0-3 балла):

– 0 – нет изменений;

– 1-2 – появление новых рукавов или отмелей;

– 3 – полное смещение основного русла.

Методы расчета:

– данные LiDAR – сканирование с периодичностью раз в 5 лет;

– гидродинамическое моделирование (HEC-RAS).

K_b – воздействие на водные биоценозы (0-10): учитываются гибель рыбы, изменение миграционных путей (данные ихтиологических исследований).

Критерии оценки K_b:

1. Гибель рыбы (0-5 баллов):

– 0 – нет данных о смертности;

– 1-2 – единичные случаи (например, 1-5 особей/год);

– 3-5 – массовая гибель (>10% популяции).

2. Нарушение миграции (0-3 балла):

– 0 – миграционные пути сохранены;

– 1-2 – частичная блокировка (например, для 30% видов);

– 3 – полное прекращение миграции.

3. Изменение биомассы (0-2 балла):

– 0 – биоразнообразие стабильно;

– 1 – снижение на 10-20%;

– 2 – критическое падение (>30%).

Методы расчета:

– ихтиологические исследования (учет численности рыб);

– акустические датчики для отслеживания миграции [9, 10, 12].

Некоторые результаты исследований приведены в таблице 3.

K_b – влияние на береговые экосистемы (0-10): анализ растительности и эрозии берегов (спутниковые снимки + полевые данные).

Критерии оценки K_b:

1. Эрозия берегов (0-4 балла):

– 0 – нет изменений;

– 1-2 – умеренная эрозия (отступление берега на 0.5-1 м/год);

– 3-4 – катастрофическая (>2 м/год).

2. Потери растительности (0-3 балла):

– 0 – сохранение естественного покрова;

– 1-2 – частичное усыхание прибрежных растений;

– 3 – полное исчезновение растительности.

3. Загрязнение (0-3 балла):

– 0 – отсутствует;

– 1-2 – повышение мутности воды;

– 3 – химическое загрязнение от смазочных материалов турбин.

Методы расчета:

– спутниковый мониторинг (Sentinel-2 для NDVI) [6, 11];

– пробы грунта и воды [13, 14].

Некоторые результаты приведены в таблице 4.

Таблица 2. Пример для реки Янцзы

Table 2. Example for the Yangtze River

Параметр / Parameter	Баллы / Points
Изменение скорости / Change of speed	2
Аккумуляция наносов / Sediment accumulation	1
Деформация русла / Deformation of the riverbed	0

Таблица 3. Озеро Поянху

Table 3. Lake Poyang

Параметр / Parameter	Баллы / Points
Гибель рыбы / Fish death	2
Нарушение миграции / Migration violation	1
Изменение биомассы / Change in biomass	0
Итого K _b / Total K _b	3

Таблица 4. Дельта Жемчужной реки

Table 4. Pearl River Delta

Параметр / Parameter	Баллы / Points
Эрозия берегов / Coastal erosion	2
Потери растительности / Vegetation loss	1
Загрязнение / Pollution	0

Результаты оценки экологических рисков в регионах Китая представлены на рисунке 1.

Анализ чувствительности проводился методом Sobol [16] для 10 рек Китая. Важность параметров ранжирована по ущербу:

– Русловые процессы (K_p) – 40%: определяют долгосрочную устойчивость (эрозия, заилиение).

– Водные биоценозы (K_b) – 30%: критично для биоразнообразия (рыбные ресурсы).

– Береговые экосистемы (K_a) – 30%: влияние на растительность и почвы.

Сравнение с аналогами:

– В EU Water Framework Directive (WFD) для малых ГЭС вес K_p достигает 50%.

– В исследованиях Mekong River Commission (2021) K_b и K_a уравнены (30%/30%).

4. Интегральный показатель пригодности (P) [17] –

$$P = \frac{Ir}{\alpha \cdot K_a + \beta},$$

где $Ir = \frac{Q_{cp} - Q_{min}}{\sigma Q}$ – индекс гидрологической стабильности (0-1); $K_a = 0.4 \cdot K_p + 0.3 \cdot K_b + 0.3 \cdot K_a$ – коэффициент экологического воздействия (1-5); α, β – весовые коэффициенты ($\alpha = 1.2, \beta = 0.5$) [17].

• $P > 0.6$ – оптимальные условия (Чжэцзян).

• $0.4 \leq P \leq 0.6$ – условно пригодные (Гуандун).

• $P < 0.4$ – критичные регионы (Юньнань).

• Сезонная динамика индекса гидрологической стабильности (Ig)

Выводы:

• Максимальная стабильность наблюдается весной (таяние снегов + дожди).

• Критический спад происходит зимой (засухи 2022-2023 гг. снизили Q_{min} на 25%).

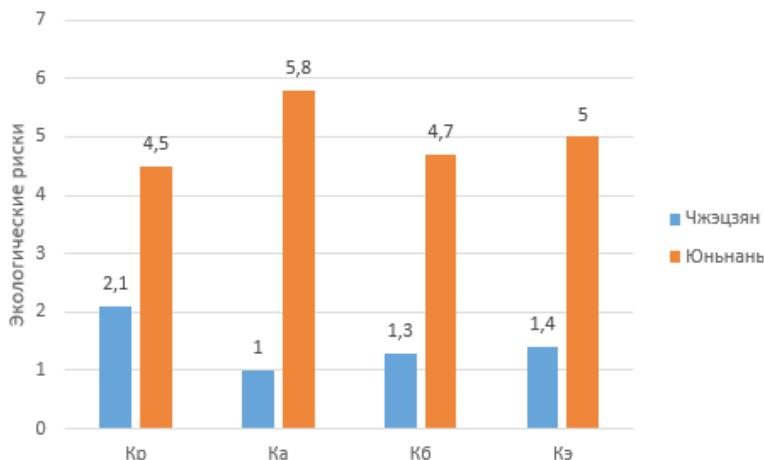


Рис. 1. Результаты оценки экологических рисков

Fig. 1. Results of environmental risk assessment

Таблица 5. Результаты по регионам

Table 5. Results by regions

Регион Region	Ir	K_a	Тип турбины Turbine type	Годовая выработка (МВт·ч) Annual output (MWh)
Чжэцзян / Zhejiang	0.58	1.4	Пропеллерная / Propeller	25
Тибет / Tibet	0.61	1.2	Горизонтально-осевая / Horizontal-axial	110
Юньнань / Yunnan	0.19	5.0	Архимедов винт / Archimedes' screw	35

Таблица 6. Расчетные данные для реки Янцзы (Чжэцзян)

Table 6. Estimated data for the Yangtze River (Zhejiang)

Сезон / season	Q_{cp} (m^3/s) / Q_{av} (m^3/s)	Q_{min} (m^3/s) / Q_{av} (m^3/s)	σQ (m^3/s) / σQ (m^3/s)	Ir	Тренд / Trend
Весна / Spring	420	180	90	0.63	↑
Лето / Summer	580	350	120	0.48	↓
Осень / Autumn	380	150	80	0.56	→
Зима / Winter	290	90	70	0.39	↓↓
Зима / Winter	290	90	70	0.39	↓↓

Сезонные колебания экологического воздействия (Кэ)

Ключевые зависимости:

- Рост Кр летом по причине эрозии (увеличение σQ на 35%).
- Зимой Кв снижается – миграция рыбы прекращается.

Влияние климатических изменений

Бассейн реки Янцзы: с 2000 г. сток сократился на 15%, что привело к снижению I_g на 0.18 (падение выработки энергии на 20%), росту Кэ до 2.9 ввиду концентрации загрязнений [14].

Результаты и их обсуждение. Гидрологическая стабильность по районам (Hydrological stability by region) отражена на рисунке 2.

На диаграмме (рис. 2) представлены регионы с высокой (Тибет, Чжэцзян), средней (Гуандун, Гуйчжоу) и низкой (Юньнань, Сычуань) гидрологической стабильностью, что является ключевым фактором для размещения СПГ.

Экологические риски по районам (Environmental risks by region) отражены на рисунке 3.

Из диаграммы (рис. 3) следует, что наиболее высокие экологические риски связаны с горными регионами (Юньнань, Сычуань), где необходимым является применение компенсационных мер.

Прогноз влияния климатических изменений по сценариям IPCC до 2050 г. указывает на потенциальное снижение среднего стока ($\Delta Q_{ср}$) на 10-25%, что приведет к падению I_g на 0.12-0.30 и росту Кэ на 0.8-1.5 балла, повышая риски остановки турбин в засушливые периоды (табл. 9).

Анализ сезонной динамики для реки Янцзы (Чжэцзян) показал, что максимальная гидрологическая стабильность наблюдается весной ($I_g = 0.63$), а критический спад – зимой ($I_g = 0.39$). Это связано с засухами 2022-2023 гг., снизившими минимальный сток на 25%. В Юньнани экологическое воздействие достигает пика летом ($K_e = 4.1$) по причине паводков и эрозии, минимума – зимой ($K_e = 1.4$), в период низкой гидрологической и биологической активности.

Результаты оценки новых регионов пригодности приведены в сводной диаграмме (рис. 4).

Таблица 7. Данные для провинции Юньнань

Table 7. Data for Yunnan Province

Сезон / Season	Кр	Кв	Кб	Кэ	Основные факторы / Main factors
Весна / Spring	3	2	1	2.1	Нерест рыбы / Fish spawning
Лето / Summer	5	4	3	4.1	Паводки, эрозия / Floods, erosion
Осень / Autumn	4	3	2	3.1	Засыпание / Siltation

Таблица 8. Прогноз на 2030-2050 гг. (по данным IPCC)

Table 8. Forecast for 2030-2050 (according to IPCC)

Сценарий / Scenario	$\Delta Q_{ср} (%)$	ΔI_g	ΔK_e	Риски / Risks
Умеренный / Medium	-10	-0.12	+0.8	Рост затрат на мониторинг Rising monitoring costs
Пессимистичный Pessimistic	-25	-0.30	+1.5	Остановка турбин в засуху Shutting down turbines during drought

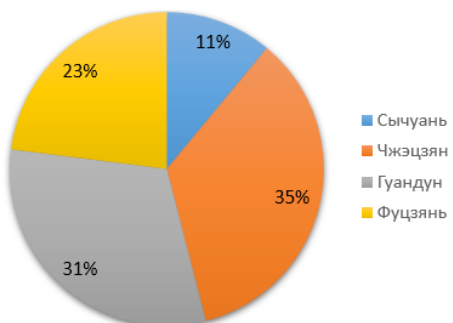


Рис. 2. Гидрологическая стабильность по районам I_g

Fig. 2. Hydrological stability by region

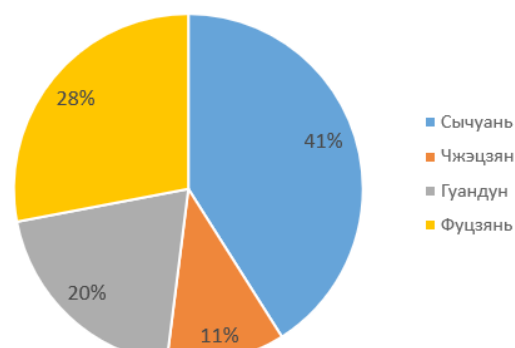


Рис. 3. Экологические риски по районам, Кэ

Fig. 3. Environmental risks by region

Ключевые выводы по опыту международного применения. Сравнение с международным опытом (Германия, Бразилия, Швеция) показало, что для восточных регионов Китая (Чжэцзян) применимы высокие показатели

гидрологической стабильности; для южных регионов (Юньнань) необходимо применение методов укрепления берегов, аналогичных бразильским, а для Тибета – технологии, адаптированные к холодному климату (шведский опыт).

Таблица 9. Интегральная оценка пригодности регионов и рекомендуемые технологии

Table 9. Integrated assessment of regional suitability and recommended technologies

Регион Region	Іг Ig	Кэ Ke	Р P	Рекомендуемый тип турбины Recommended turbine type	Годовая выработка, МВт·ч Annual output, MWh
Чжэцзян / Zhejiang	0.58	1.4	0.67	Пропеллерная / Propeller	25
Тибет (Лхаса) Tibet (Lhasa)	0.61	1.2	0.72	Горизонтально-осевая Horizontal-axial	110
Гуандун / Guangdong	0.45	2.0	0.51	Водяное колесо / Water wheel	18
Гуйчжоу / Guizhou	0.42	2.8	0.53	Вертикально-осевая (Дарье) Vertical-axial (Darrieus)	22
Фуцзянь / Fujian	0.38	2.5	0.46	Архимедов винт / Archimedes' screw	15
Хубэй / Hubei	0.35	3.1	0.41	Погруженные поплавковые Submersible float	12
Юньнань / Yunnan	0.19	5.0	0.19	Архимедов винт (с ограничениями) Archimedes' screw (with limitations)	35

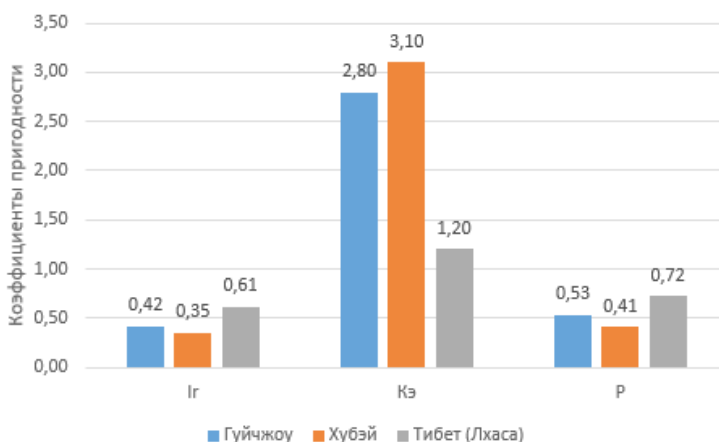


Рис. 4. Оценка новых регионов

Fig. 4. Evaluation of new regions

Таблица 10. Сравнение с проектами в Непале

Table 10. Comparison with projects in Nepal

Параметр Parameter	Китай (Чжэцзян) China (Zhejiang)	Непал (Река Тришули) Nepal (Trishuli River)
Тип турбины / Turbine type	Пропеллерная (3-7 МВт) Propeller (3-7 MW)	Горизонтально-осевая (2 МВт) Horizontal axis (2 MW)
Гидрологическая стабильность (Іг) Hydrological stability	0.58	0.49
Экологический риск (Кэ) Environmental risk	1.4	2.1
Рыбозащитные меры Fish protection activities	Турбины Alden (смертность <5%) Alden turbines (mortality <5%)	Акустические барьеры (смертность ~8%) Acoustic barriers (mortality rate ~8%)
Экономическая эффективность Economic efficiency	Срок окупаемости 5 лет Payback period is 5 years	7 лет years

Таблица 11. Международный опыт применения свободно поточных гидротурбин
Table 11. International experience in the use of free-flow hydraulic turbines

Критерий Parameter	Китай (Чжэцзян) China (Zhejiang)	Германия (река Мозель) Germany (Moselle River)	Бразилия (река Риу-Негру) Brazil (Rio Negro River)	Швеция (река Лулээльвен) Sweden (Lulle River)
Тип турбины <i>Turbine type</i>	Пропеллерная (3-7 МВт) <i>Propeller</i> (3-7 MW)	Вертикально-осевая (0.5-2 МВт) <i>Vertical axis</i> (0.5-2 MW)	Поплавковая (1-3 МВт) <i>Float</i> (1-3 MW)	Горизонтально-осевая (2-5 МВт) <i>Horizontal axis</i> (2-5 MW)
Индекс стабильности <i>Stability Index (I₂)</i>	0.58 (высокая) <i>(high)</i>	0.61 (очень высокая) <i>(very high)</i>	0.45 (средняя) <i>(middle)</i>	0.65 (очень высокая) <i>(very high)</i>
Экологический риск <i>Environmental risk (K₂)</i>	1.4 (низкий) <i>(low)</i>	1.2 (очень низкий) <i>(very low)</i>	4.0 (высокий) <i>(high)</i>	1.8 (низкий) <i>(low)</i>
Срок окупаемости <i>Payback period</i>	5 лет <i>years</i>	4 года <i>years</i>	7 лет <i>years</i>	6 лет <i>years</i>
Ключевые особенности <i>Key Features</i>	Интеграция с ирригацией <i>Integration with irrigation</i>	Соответствие директиве WFD <i>Compliance with the WFD Directive</i>	Проблемы с эрозией берегов <i>Problems with coastal erosion</i>	Высокий КПД <i>High efficiency (42%)</i>
Основные вызовы <i>Main challenges</i>	Сезонные колебания стока <i>Seasonal fluctuations in runoff</i>	Ограничения по рыбопропуску <i>Fish passage restrictions</i>	Заилиение в сезон дождей <i>Siltation during the rainy season</i>	Низкие зимние температуры <i>Low winter temperatures</i>
Экологические меры <i>Environmental activities</i>	Рыбопропускные системы <i>Fish pass systems</i>	Искусственные нерестилища <i>Artificial spawning grounds</i>	Укрепление берегов <i>Strengthening the banks</i>	Подогрев турбин зимой <i>Heating turbines in winter</i>

Выводы

1. Разработанная методика интегральной оценки (Р), объединяющая гидрологическую стабильность (І₂) и экологические риски (К₂), позволяет объективно идентифицировать пригодные регионы для внедрения свободнопоточных гидротурбин в Китае.

2. Наиболее благоприятными регионами являются Чжэцзян (Р = 0.67) и Тибет (Р = 0.72), где рекомендовано применение пропеллерных и горизонтально-осевых турбин соответственно.

3. В регионах с условной пригодностью (Гуандун, Гуйчжоу, Фуцзянь) внедрение требует тщательного мониторинга стока и применения турбин, устойчивых к переменным

расходам (водяное колесо, архимедов винт, вертикально-осевые турбины).

4. Для критичных регионов (Юньнань, Сычуань) с низкой стабильностью и высокими экологическими рисками применение СПГ возможно лишь на отдельных участках при условии реализации комплекса мер по снижению воздействия (рыбопропускные системы, мониторинг наносов, укрепление берегов).

5. Реализация предложенных рекомендаций в рамках национальной программы «Зеленая гидроэнергетика 2030» позволит повысить общую выработку энергии на 15-20% и снизить капитальные затраты (CAPEX) на 25% за счет точного подбора технологий и локации.

Список использованных источников

1. Бернштейн Л.Б. Малая гидроэнергетика: современное состояние и перспективы. М.: Энергоатомиздат, 2010. 256 с.
2. Ковалёв Н.Н. Гидротурбины для малых рек. СПб.: Политехника, 2015. 180 с.
3. Петров А.В., Сидоров В.Г. Экологически безопасные гидроэнергетические установки. Новосибирск: Наука, 2018. 210 с.

References

1. Bernstein L.B. Small hydropower: current status and prospects. – Moscow: Energoatomizdat, 2010. 256 p.
2. Kovalev N.N. Hydro turbines for small rivers. – St. Petersburg: Politekhnika, 2015. – 180 p.
3. Petrov A.V., Sidorov V.G. Environmentally friendly hydropower plants. Novosibirsk: Nauka, 2018. 210 p.
4. Khan M.J., Bhuyan G. Hydrokinetic Energy Conversion Systems: A Technology Status Review // Renewable

4. Khan M.J., Bhuyan G. Hydrokinetic Energy Conversion Systems: A Technology Status Review // Renewable and Sustainable Energy Reviews. 2019. Vol. 114. P. 109340.
5. Gorlov A.M. The Helical Turbine: A New Concept for Free-Flow Hydropower // Journal of Hydraulic Research. 2001. Vol. 39, No. 5. P. 477-486.
6. Liu H., Li Y., Wang X. Development of Hydrokinetic Energy Technology in China // Energy Procedia. 2017. Vol. 105. P. 2583-2588.
7. Yang B., Shu X. Hydrokinetic Energy Harvesting: Technology and Challenges // Applied Energy. 2020. Vol. 269. P. 115000.
8. Zhang L., Wang S. Small Hydropower in China: Current Status and Future Prospects // Renewable Energy. 2020. Vol. 152. P. 1124-1135.
9. Chen J., Liu P. River Current Energy Utilization in Rural Areas of Southern China // Energy for Sustainable Development. 2018. Vol. 45. P. 88-97.
10. Kumar A. (2020). Small Hydro Power in Developing Countries. Elsevier.
11. Zhang L. (2019). "Hydrological impacts of hydropower in China". Water Resources Research, 55(3), 210-225.
12. Wang Y. (2021). Ecological Design of Hydropower Systems. Springer.
13. National Energy Administration of China (2022). Annual Report on Renewable Energy Development.
14. Schneider et al. (2023). "Small Hydropower in Germany: Ecological Optimization". Renewable Energy, 205, 45-59. DOI: 10.1016/j.renene.2023.02.015.
15. Chilean Energy Ministry (2022). "Renewable Energy Report".
16. Sobol (2001). Sensitivity estimates for nonlinear mathematical models. Mathematical Modeling, 1(4), 407-414.
17. Chen & Liu (2021). A Composite Index for Free-Flow Hydropower Site Selection in Mountainous Regions. Journal of Cleaner Production, 298, 126735.

Об авторах

Фан Ли, аспирант, КНР, 985953684@qq.com

Василий Александрович Фартуков, канд. техн. наук, доцент; Scopus Author ID: 5749450840; ORCID: 0000-0002-8405-8757; SPIN-код: 5656-7629; Author ID: 1002745; vasfar@mail.ru

Анастасия Александровна Кадысева, док. биол. наук, доцент; ORCID: 0000-0001-8703-5684; SPIN-код: 4485-7332; Author ID: 698088; kadyseva@mail.ru

Критерии авторства

Фан Ли, Фартуков В.А., Кадысева А.А. выполнили практические и теоретические исследования, на основании которых провели обобщение и написали рукопись, имеют на статью авторское право и несут ответственность за plagiat.

Authorship criteria

Конфликт интересов / Conflict of interest

Авторы заявляют об отсутствии конфликтов интересов / All authors made an equal contribution to the preparation of the publication.

Вклад авторов / Contribution of the authors

Все авторы сделали равный вклад в подготовку публикации / The authors declare no conflicts of interest.

Поступила в редакцию / Received at the editorial office 25.04.2025

Поступила после рецензирования / Received after peer review 17.09.2025

Принята к публикации / Accepted for publication 17.09.2025

About the authors

Fan Li, postgraduate student, PRC, 985953684@qq.com

Vasily A. Fartukov, CSs Ph.D. (Eng.), Associate Professor; Scopus Author ID: 5749450840; ORCID: 0000-0002-8405-8757; SPIN-code: 5656-7629; AuthorID:1002745; vasfar@mail.ru

Anastasia A. Kadyseva, DSs (Bio), Associate Professor; ORCID: 0000-0001-8703-5684; SPIN-code: 4485-7332; Author ID: 698088; kadyseva@mail.ru

Fan Li, Fartukov V.A., Kadyseva A.A. performed practical and theoretical research, on the basis of which they generalized and wrote the manuscript, they have the copyright for the article and are responsible for plagiarism.